

## نط الابتلال لمصدري تنقيط خطيبين

د. حفي اسماويل ياسين  
أستاذ

[haqqiismail@yahoo.com](mailto:haqqiismail@yahoo.com)

قرم مؤيد بكر  
طالبة ماجستير

[tharmoayad@gmail.com](mailto:tharmoayad@gmail.com)

\*؛ \*\* قسم هندسة السدود والموارد المائية، كلية الهندسة-جامعة الموصل

قبل: 2019-7-24

استلم: 2019-4-17

### الملخص

يعد الري بالتنقيط أحد أهم أنظمة الري التي تقلل من فوائد التخلل العميق والتباخر بسبب كونه يسلط الماء لحجم معين من التربة، ومعرفة هذا الحجم مطلب ضروري للتصميم الأمثل وإدارة أنظمة الري بالتنقيط. ولغرض تحمين أبعاد التربة المبتلة تحت الري بالتنقيط ثانوي البعض شملت الفحوصات المختبرية التي تم اجراؤها 12 فحصً متابعة تقدم جبهة الابتلال عند ازام مناسبة خلا طوري الترطيب وإعادة توزيع الرطوبة نتيجة إضافة الماء من مصدر تنقيط خطيبين بفاصلة معينة المقد التربة. تم استخدام هذه البيانات للتعمير بعلاقات تجريبية لتتحمين نط الابتلال الناتج من كل من مصدر التنقيط الخطي المفرد ومصدري التنقيط الخطيبين وذلك خلال طوري الترطيب وإعادة توزيع الرطوبة. بينت الدراسة بذلك تطابق كبير بين نط الابتلال المقاس والمتحمن من المعادلات التجريبية إن نط الابتلال يزداد بنقصان الفاصلة بين مصدرى التنقيط، وهذه الزيادة منتظمة على امتداد جبهة الابتلال أو محيط نط الابتلال، وإن هذه الزيادة تكون في الاتجاه العمودي لنط الابتلال في التربة المزبوجة الرملية أكبر بكثير مما في التربة الطينية الغربية والعكس صحيح في الاتجاه الأفقي وذلك عند المقارنة بين انماط الابتلال عند انتهاء طور الترطيب وطور إعادة توزيع الرطوبة بزمن كلي 72 ساعة.

الكلمات الدالة :  
الضغط الموجب، ثقب الحصى، بصلة الابتلال.

<https://rengj.mosuljournals.com>  
Email: [alrafidain\\_engjournal@umosul.edu.iq](mailto:alrafidain_engjournal@umosul.edu.iq)

### 1. المقدمة

إن حركة الماء تستتر نتيجة الانحدارات الهيدروليكيه خلال طور إضافة الماء أو طور الترطيب وخلال طور إعادة توزيع الرطوبة. وحركة الماء داخل التربة ناتجة من قوى الشد الشعري في جميع الاتجاهات وقوى الجذب الأرضي نحو الأسفل فكلما زادت نعومة التربة أصبحت أكثر تأثراً بقوى الشد الشعري وكلما زادت خشونة التربة أصبحت أكثر تأثراً بقوى الجذب الأرضي [6,5,4,3,2,1]. هناك العديد من العوامل التي تؤثر على نط الابتلال الناتج من مصدر تنقيط منها معدل إضافة الماء وحجم الماء المضاف والرطوبة الإبدانية للتربة نوع التربة والخصائص الفيزيائية والكيميائية للماء ثم يضاف إلى ذلك الفاصلة في حالة نط الابتلال الناتج من مصدرى تنقيط متباينين بفاصلة معينة [10,9,8,7,6,5,4,3,2]. حجم التربة الرطبة تحت الري بالتنقيط يمثل كمية الماء المخزون في المنطقة الجذرية ، حيث يجب أن يعادل عمق هذا الحجم عمق المنطقة الجذرية وعرضه يجب أن يشير إلى الفاصلة بين المناطق أو الإناثيب [11] إن مقدار كل من التقدم العمودي تحت المنقط والتقدم الأفقي لجبهة الابتلال يكون أكبر في حالة المنقطين المتباينين عنه في حالة المنقط المفرد [12,5] ، وإن التقدم العمودي لجبهة الابتلال تحت المنقط يزداد مع نقصان الفاصلة بين مصدرى التنقيط، وأن التقدم

### 2. الفحوصات المختبرية:

لغرض تأمين البيانات اللازمة لتحمين نط الابتلال الناتج من مصدرى تنقيط خطيبين متباينين بفاصلة معينة اعتماداً على نط الابتلال الناتج من مصدرى تنقيط خطى مفرد فقد تم اجراء فحوصات مختبرية تضمنت متباينة تقدم جبهة الابتلال عند أزمنة مناسبة خلال طوري الترطيب (إضافة الماء) وإعادة توزيع الرطوبة بالإضافة الماء من منقط سطحي مفرد أو منقطين سطحيين بفاصلة معينة وذلك الى مقد التربة. حيث تم استخدام حاوية حديبية بشكل متوازي مستطيلات مقوحة من الأعلى ابعادها 140 سم\*70 سم ذات واجهة من لوح شفاف من اللدائن الصلب. تم رص التربة بطبقات سمك كل منها عند الرص 5 سم وقد تم تحديد كتلتها اعتماداً على حجم طبقة التربة والكتافة

الجدول (1): خلاصة عامة للفحوصات المختبرية .

الفاصلة (سم)	معدل اضافة الماء (سم <sup>3</sup> /دقيقة/سم)	مصدر التنقيط	نوع التربيه	
20	1.2	منقط مفرد	مزيجية رمليه	
	2			
	1.2	منقطين		
	2			
	1.2	منقط مفرد	طينية غربيه	
	2			
	1.2	منقطين		
	2			

الابتلال الناتج من مصدر تنقيط خطى مفرد ومصدري تنقيط خطيبين متجاورين بفواصل، ثم باستخدام طريقة الانحدار лакти على البرنامج الاحصائي ( ) SPSS (program for Statistical System)، تم ايجاد علاقات لتخمين نمط الابتلال الناتج من كل من مصدر التنقيط الخطى المفرد ومصدري التنقيط الخطيبين وذلك خلال طوري الترطيب وإعادة الترطيب. فبواقع 1044 قيمة خلال طور الترطيب و228 قيمة خلال طور إعادة توزيع الرطوبة وذلك للإحداثيات القطبية ( $r$  سم و  $\Theta$  بالقياس الدائري) الناتجة من مصدر تنقيط خطى مفرد وما يرافقهم من قيم لكل من الزمن الكلى ( $t$  دقيقة) وزمن اضافة الماء ( $ti$ ) دقيقة) ومعدل اضافة الماء ( $q$ ) سم<sup>3</sup>/دقيقة (سم) ومعدل الارتشاح الاساس للتربيه (Ib) ملم/ساعة) حيث تم التعبير عن البعض بين مصدر التنقيط وجبهة الابتلال ssw خلال طور الترطيب و ssr خلال طور إعادة توزيع الرطوبة بالصيغة الآتية:-

$$ssw = \frac{0.02 \times ti^{0.49} \times q^{0.196} \times (1 + \theta)^{0.75} \times Ib^{1.62}}{0.39 \times (1 + \theta) - q^{0.22} + 0.13 \times Ib} \dots \dots \dots (1)$$

$$ssr = \frac{t^{0.14} \times ti^{-0.99} \times q^{-1.4} \times (1 + \theta)^{1.78} \times Ib^{2.71}}{0.22 \times (1 + \theta)^{1.66} - q^{0.07} + 0.1 \times Ib} \\ + 1.91 \times Ib + 11.6 \times (1 + \theta) - 27 \dots \dots \dots (2)$$

الظاهرية المطلوبة والرطوبة الابتدائية للتربيه، وتمت عملية رص الطبقات الواحدة فوق الأخرى حتى يتم تبيئه مقد تربة. ويتم تجهيز الماء عبر خزان اسطواني منسوب الماء فيه ثابت إلى مصدر التنقيط، وبتغير منسوب الخزان فإن معدل إضافة الماء منه يتغير و يوضح الشكل(1) حاوية التربة ومنظومة تجهيز الماء. بعد إعداد مقد التربة تم معايرة معدل إضافة الماء المختار ويساف الماء عبر مصدر التنقيط إلى سطح التربة. ويتم تأثير موقع تقم جبهة الابتلال على وجه الحاوية الشفاف عند أزمنة مناسبة ، وتستمر إضافة الماء إلى أن يصبح حجم الماء المضاف 3 لتر في حالة مصدر التنقيط الخطى المفرد و 6 لتر في حالة مصدرى التنقيط الخطيبين المتجاورين بفواصل معينة عنده يتم إيقاف إضافة الماء، وتغطية سطح التربة بغطاء لاذنى، وذلك للحد من التبخر من سطح التربة. ويتم الاستمرار في ملاحظة نقدم جبهة



الشكل (1) : حاوية التربة ومنظومة تجهيز الماء.

الابتلال مع الزمن وتأشيره إلى أن يصبح الزمن الكلى من بداية إضافة الماء 72 ساعة، وعندها يكون من الصعوبة تمييز تقم جبهة الابتلال. شملت الفحوصات المختبرية نوعين من الترب مزيجية رملية وطينية غربالية، ومعدلين لإضافة الماء 1.2 او 2 سم/دقيقة/سم، وفواصلتين 20 و 40 سم بين خطى التنقيط المتجاورين. والجدول(1) يوضح خلاصة الفحوصات المختبرية، كما يوضح الشكل(2) نمط الابتلال لحالات مختلفة لنوع التربة و معدل اضافة الماء ومصدر تنقيط خطى مفرد ومصدرى تنقيط خطيبين متجاورين بفواصل معينة.

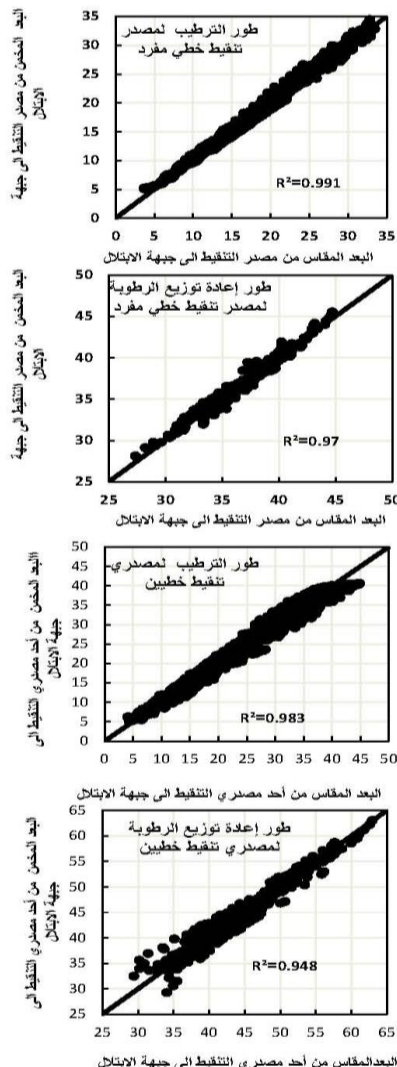
### 3. النتائج والتحليل:

تم استخراج الإحداثيات القطبية ( $r, \Theta$ ) لنمط الابتلال عند كل من أزمنة القياس التي تم تثبيتها خلال الفحوصات المختبرية لتقدير جبهة الابتلال باعتبار مصدر التنقيط نقطة الاصل وبفواصل لزواوية ( $\Delta \Theta$ ) مقدارها 5° وذلك لأنماط

#### 4. المناقشة:

##### 1.4 تخمين نمط الابتلال تحت مصدر تنقيط خطى مفرد ومصدرى تنقيط خطين بفاصلة معينة:

في حالة استخدام مصدر تنقيط خطى مفرد يتم اعتماد المعادلة (1) في تخمين البعد من مصدر التنقيط إلى جبهة الابتلال خلال طور الترطيب  $ssw$  (سم)، والمعادلة (2) في تخمين البعد من مصدر التنقيط إلى جبهة الابتلال خلال طور إعادة الترطيب  $ssr$  (سم) وذلك اعتماداً على المتغيرات ( $t$  و  $q$  و  $Ib$  و  $\Theta$ )، والشكل (4) يوضح نمط الابتلال لمصدر تنقيط خطى مفرد بمعدل اضافة 2 سم<sup>3</sup>/دقائق/سم وذلك لترية طينية عرينية ولترية مزججية رملية المقاس والمختمن باستخدام المعادلتين 1 و 2. وفي حالة استخدام مصدرى تنقيط خطين متباينين بفاصلة معينة يتم اعتماد المعادلة (3) في تخمين البعد من أحد مصادرى التنقيط إلى جبهة الابتلال خلال طور الترطيب  $sdrw$  (سم)، والمعادلة (4) في تخمين البعد من



الشكل (3): مقارنة بين القيم المقاسة والمختمنة للبعد من مصدرى التنقيط خطى مفرد وخطى خطين لجهة الابتلال.



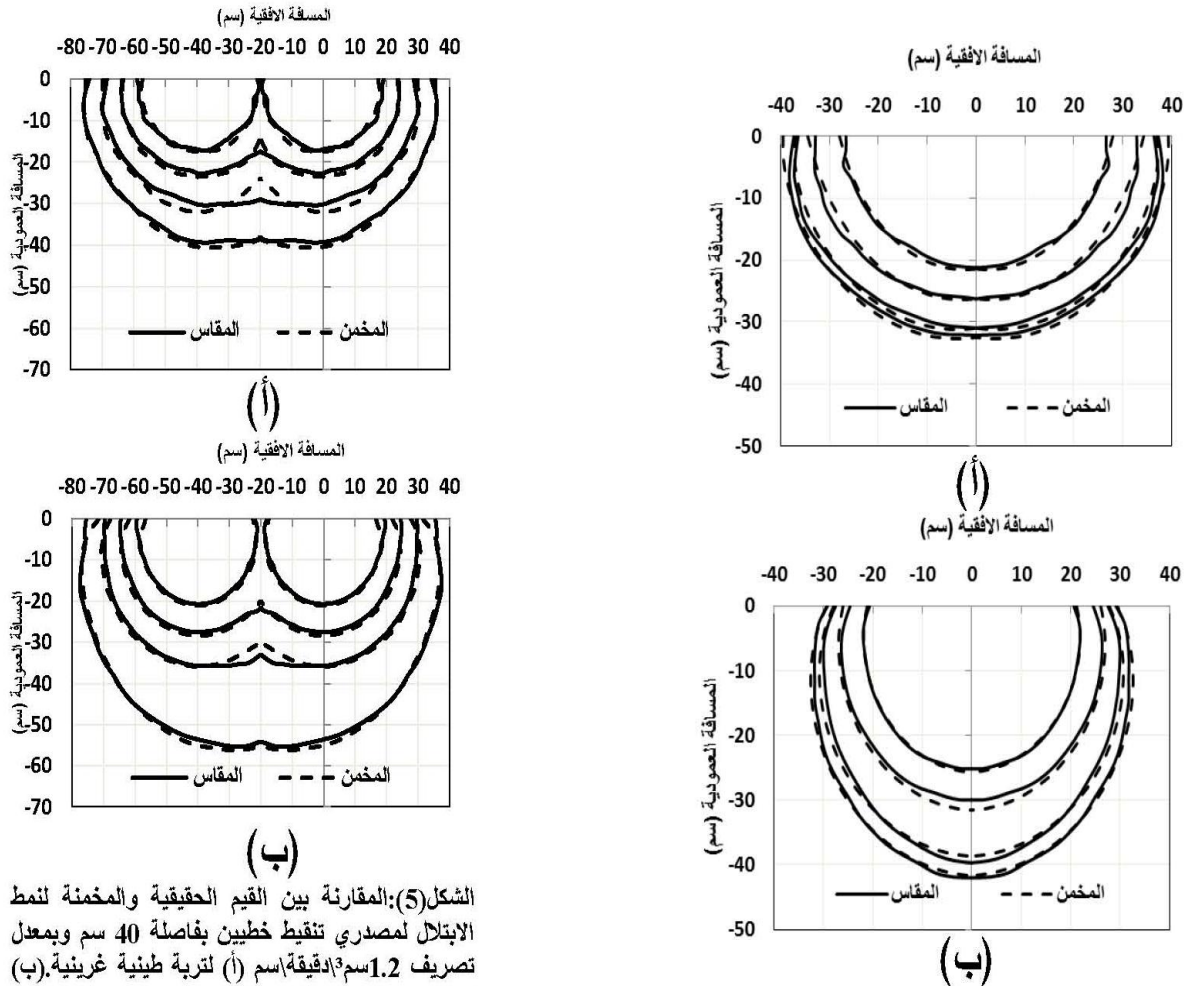
الشكل (2): أنماط الابتلال لحالات مختلفة لنوع التربة و معدل اضافة ومصدر التنقيط (مفرد او متزوج بفاصلة معينة).

ويواقع 2966 قيمة خلال طور الترطيب و 545 قيمة خلال طور إعادة توزيع الرطوبة وذلك للإحداثيات القطبية ( $r$  سم و  $\Theta$  بالقياس الدائري) الناتجة من مصدرى التنقيط الخطين المتباينين وما يراونهم من قيم لكل من البعد بين مصدرى تنقيط خطى مفرد وجبهة الابتلال  $ssw$  خلال طور الترطيب و  $ssr$  خلال طور إعادة توزيع الرطوبة والזמן الكلى ( $t$  دقيقة) و زمن اضافة الماء ( $t_i$  دقيقة) ومعدل اضافة الماء ( $q$  سم<sup>3</sup>/دقائق/سم) و الفاصلة بين المنقعين ( $s$  سم) ومعدل الارتشاش الاساس للتربة ( $Ib$  لمساعة) حيث تم التعبير عن البعد بين مصدرى التنقيط وجبهة الابتلال  $sdrw$  خلال طور الترطيب و  $sdr$  خلال طور إعادة توزيع الرطوبة بالصيغ الآتية:-

$$sdw = 0.6 \times t_i^{0.23} \times s^{-0.18} \times q^{0.25} \times (1 + \theta)^{0.035} \times ssw^{0.86} \times Ib^{0.084} + 2.759 \quad \dots(3)$$

$$sdr = \frac{t^{0.121} \times t_i^{-0.299} \times q^{-0.79} \times (1 + \theta)^{2.04} \times s^{-0.145}}{2.758 \times (1 + \theta) - q^{1.13} + 0.153 \times Ib + 0.132 \times ssw} \quad \dots(4)$$

يوضح الشكل (3) مقارنة بين القيم المقاسة والمختمنة من المعادلات 1-4 للبعد من مصدرى التنقيط إلى جبهة الابتلال خلال طور الترطيب وطور إعادة الترطيب وذلك لمصدرى تنقيط خطى مفرد ولمصدرى تنقيط خطين متباينين ( $ssw$  و  $ssr$ )، اضافة الى معامل التحديد  $R^2$ .



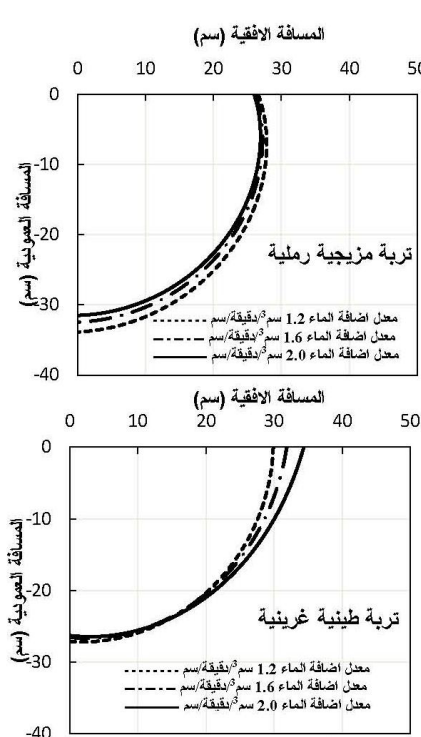
الشكل(5): المقارنة بين القيم الحقيقة والمختمنة لنمط الابتلال لمصدري تنقيط خطيين بفواصل 40 سم وبمعدل تصريف 1.2 سم<sup>3</sup>/دقائق/سم (أ) لترية طينية غرينينة.(ب) لترية مزججية رملية.

الشكل(4): نمط الابتلال لمصدر تنقيط خطى مفرد بمعدل اضافه 2 سم<sup>3</sup>/الحقيقة/سم (أ) لترية طينية غرينينة (ب) لترية مزججية رملية.

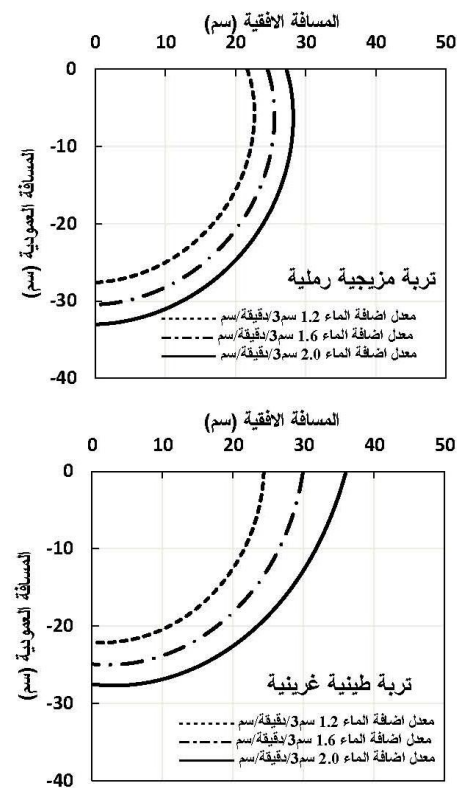
#### 2.4 نمط الابتلال من مصدر تنقيط خطى مفرد:

في طور الترطيب يعرض الشكل(6) نمط الابتلال الناتج من مصدر تنقيط خطى مفرد بمعدلات مختلفة لإضافة الماء عند زمن تتغلي مقداره 300 دقيقة وذلك لترية مزججية رملية وترية طينية غرينينة، أي أحجام مختلفة من الماء المضاف تزداد مع زيادة معدل اضافة الماء، يتبيّن من الشكل أن نمط الابتلال يزداد بزيادة حجم الماء المضاف وان هذه الزيادة تكون في التربة المزججية الرملية في الاتجاه الافقى أقل مما عليه في الاتجاه العمودي والعكس صحيح في التربة الطينية الغرينينة. كما يتبيّن أيضاً ان القدم الافقى في التربة المزججية الرملية أقل مما عليه في التربة الطينية الغرينينة والعكس صحيح في الاتجاه العمودي في جميع حالات معدل اضافة الماء.

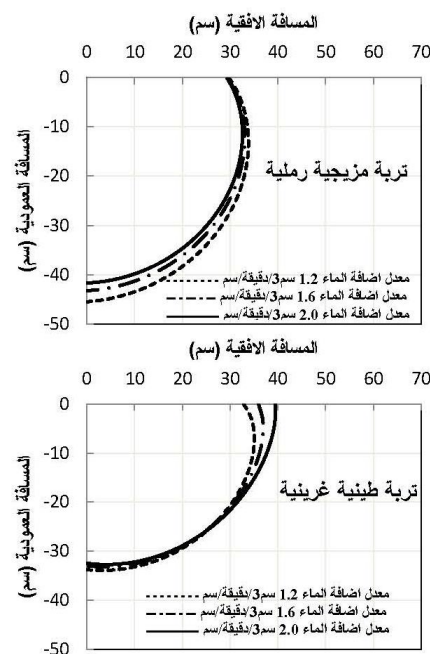
أحد مصدرى التنقيط الى جهة الابتلال خلال طور إعادة الترطيب sdr (سم) وذلك اعتماداً على المتغيرات ( $t$  و  $\Theta$  و  $q$  و  $s$  و  $Ib$  و  $ssw$ )، والشكل(5) يوضح نمط الابتلال لمصدرى تنقيط خطيين متلاজرين بفواصل معينة بمعدل اضافه 1.2 سم<sup>3</sup>/الحقيقة/سم وذلك لترية طينية غرينينة وترية مزججية رملية المقاس والمختمن باستخدام المعادلتين 3 و 4. في الشكلين (4) و (5) هناك تطابق كبير بين نمط الابتلال المقاس والمختمن من المعادلات اعلاه سواء كان ذلك لنمط الابتلال الناتج من مصدر تنقيط خطى مفرد او الناتج من مصدرى تنقيط خطيين بفواصل وكلا الترتيبين. ولاحقاً تم التعبير بمرسمات تمثل انماط الابتلال الناتجة من مصدرى تنقيط الى منتصف الفاصلة فقط حيث النصف الثاني مماثل لنصف الاول.



الشكل(7): نمط الابتلال الناتج من مصدر تنقيط خطى مفرد بمعدلات مختلفة لإضافة الماء وحجم ثابت للماء المضاف وذلك لترابة مزيجية رملية وتربة طينية غرينية.

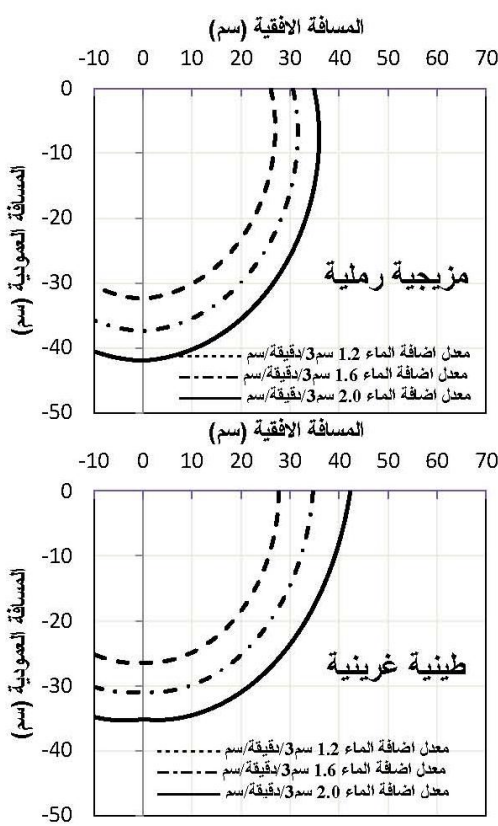


الشكل(6): نمط الابتلال الناتج من مصدر تنقيط خطى مفرد بمعدلات مختلفة لإضافة الماء عند زمن تشغيله مقداره 300 دقيقة وذلك لترابة مزيجية رملية وتربة طينية غرينية.



الشكل(8): نمط الابتلال الناتج من مصدر تنقيط خطى مفرد بمعدلات مختلفة لإضافة الماء وحجم ثابت للماء المضاف خلال طور اعادة توزيع الرطوبة بعد 72 ساعة من بدء اضافة الماء وذلك لترابة مزيجية رملية وتربة طينية غرينية. يتبيّن في هذا الشكل ما تم ذكره عن الشكل(7).

ويعرض الشكل(7) نمط الابتلال الناتج من مصدر تنقيط خطى مفرد بمعدلات مختلفة لإضافة الماء وحجم ثابت للماء المضاف وذلك لترابة مزيجية رملية وتربة طينية غرينية. حيث يتبيّن ان لنفس الحجم من الماء المضاف ان نمط الابتلال يزداد في الاتجاه العمودي مع نقصان معدل اضافة الماء وتكون هذه الزيادة اكبر واوضح في التربة المزيجية الرملية مما عليه في التربة الطينية الغرينية، وفي الاتجاه الافقى هناك زيادة واضحة في نمط الابتلال في التربة الطينية الغرينية مع زيادة معدل اضافة الماء بينما لا يوجد تغير واضح في التربة المزيجية الرملية. وفي طور اعادة توزيع الرطوبة يعرض الشكل(8) نمط الابتلال الناتج من مصدر تنقيط خطى مفرد بمعدلات مختلفة لإضافة الماء وحجم ثابت للماء المضاف خلال طور اعادة توزيع الرطوبة بعد 72 ساعة من بدء اضافة الماء وذلك لترابة مزيجية رملية وتربة طينية غرينية. يتبيّن في هذا الشكل ما تم ذكره عن الشكل(7). ولكن حين المقارنة بين الشكلين فكمية الماء فيها ثابتة ومتسلوقة لجميع معدلات اضافة الماء، يتبيّن من المقارنة ان الزيادة في الاتجاه العمودي لنطط الابتلال في التربة المزيجية الرملية اكبر بكثير مما في التربة الطينية الغرينية والعكس صحيح في الاتجاه الافقى وذلك نتيجة لإعادة توزيع الرطوبة من انتهاء اضافة الماء حتى يصبح الزمن الكلى 72 ساعة.

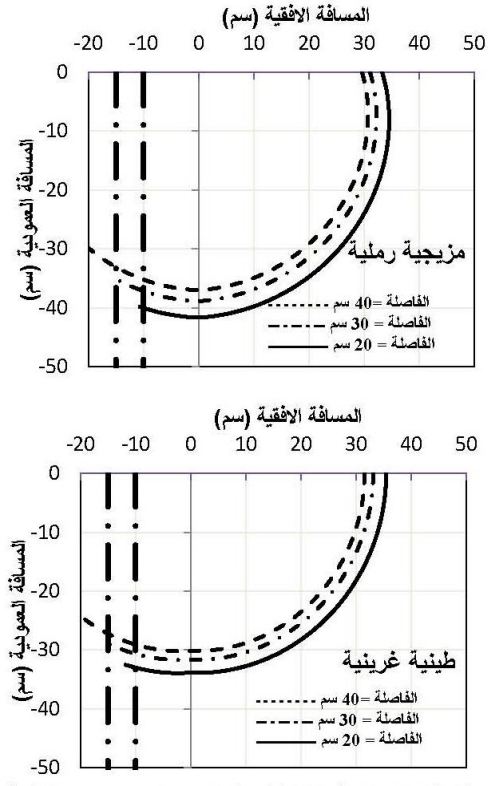


الشكل(10): نمط الابتلال الناتج من مصدرى تقطير خطيبين بفاصلة 20 سم بمعدلات مختلفة لإضافة الماء عند زمن تشغيل مقداره 300 دقيقة وذلك لترية مزيجية رملية وترية طينية غرينية.

وفي طور اعادة توزيع الرطوبة يعرض الشكل(11) نمط الابتلال الناتج من مصدرى تقطير خطيبين متقاربين بمعدل اضافة الماء 1.2 سم<sup>3</sup>/دقيقة/سم وحجم ثابت للماء المضاف وبعدة فواصل خلال طور اعادة توزيع الرطوبة بعد 72 ساعة من بدء اضافة الماء وذلك لترية مزيجية رملية وترية طينية غرينية. يتبيّن من الشكل ان نمط الابتلال يزداد بنقصان الفاصلة بين مصدرى التقطير، وهذه الزيادة منتظمة على امتداد جهة الابتلال او محيط نمط الابتلال. ولكن حين المقارنة بين الشكلين فكمية الماء فيما ثابتة ومتساوية لجميع الفواصل، يتبيّن من المقارنة ان الزيادة في الاتجاه العمودي لنمط الابتلال في الترية المزيجية الرملية اكبر بكثير مما في الترية الطينية الغرينية والعكس صحيح في الاتجاه الافقى وذلك نتيجة لإعادة توزيع الرطوبة بعد انتهاء اضافة الماء حتى يصلح الزمن الكلي 72 ساعة.

### 3.4 نمط الابتلال من مصدرى تقطير خطيبين بفاصلة:

في طور الترطيب، يوضح الشكل (9) نمط الابتلال الناتج من مصدرى تقطير خطيبين بمعدل اضافة الماء 1.2 سم<sup>3</sup>/دقيقة/سم وحجم ثابت للماء المضاف وبعدة فواصل وذلك لترية مزيجية رملية وترية طينية غرينية، يتبيّن من الشكل ان نمط الابتلال يزداد بنقصان الفاصلة بين مصدرى التقطير، وهذه الزيادة منتظمة على امتداد جهة الابتلال او محيط نمط الابتلال. ويوضح الشكل(10) نمط الابتلال الناتج من مصدرى تقطير خطيبين بفاصلة 20 سم بمعدلات مختلفة لإضافة الماء عند زمن تشغيلي مقداره 300 وذلك لأن الترية المزيجية الرملية تحوي مسامات ذات اقطار اكبر نسبياً وهذا يجعل من قوى الجاذبية ان تلعب دوراً مهمأً في حركة الماء نحو الاسفل، بينما الترية الطينية الغرينية تحوي مسامات ذات اقطار اصغر لذلك فان قوى الشد هي التي تلعب الدور المهم في حركة الماء في جميع الاتجاهات.



الشكل(9): نمط الابتلال الناتج من مصدرى تقطير خطيبين بفاصلة 20 سم بمعدل اضافة الماء 1.2 سم<sup>3</sup>/دقيقة/سم وحجم ثابت للماء المضاف وبعدة فواصل وذلك لترية مزيجية رملية وترية طينية غرينية.

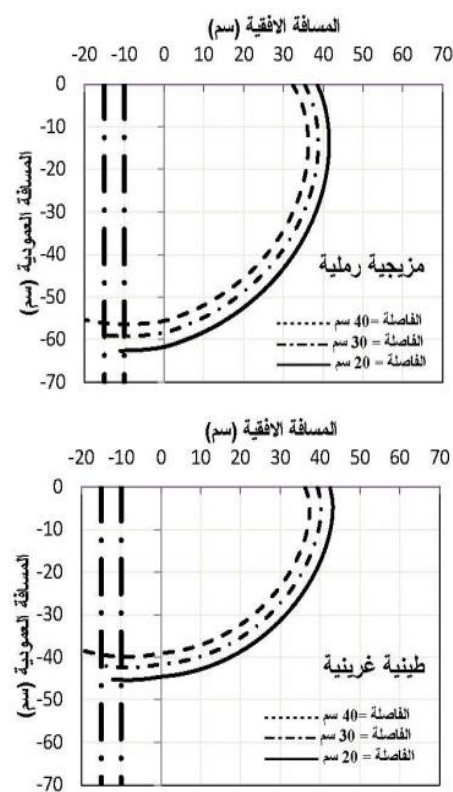
## 6. مثال تطبيقي

معادلات التخمين ذات صلحيات محددة ضمن المديات التي تضمنتها البيانات المعتمدة والتي تم جمعها من الفحوصات المختبرية.

المعلومات المطلوبة: لنفرض ان: التربة مجففة هوائيا. معدل الارشاح الاساس للترابة  $I_b = 11$  ملم/ساعة ومعدل اضافة الماء من مصدر التقطيف  $q = 1.6$  سـ<sup>3</sup>/دقيقة/سم. والفاصلـة بين مصدرـي التقطـيف  $s = 30$  سم. وحجم الماء المضاف = 3 لتر لكل نقطـة.

تخمين نمط الابتلال الناتج من مصدر تقطيف خطـي مفرد: يتم ايجـاد زـمن اضـافـة المـاء من قـسـمة حـجم المـاء المـضاف عـلـى مـعـدـل اضـافـة المـاء وـفـي هـذـه الـحـالـة ( $t_i = 340.9$  min). والـزـمـن الكـلـي يـتـغـيـر مـن  $t_i$  إـلـى  $t = 72$  ساعـة ، وـتـمـ اختيار  $t = 72$  ساعـة. وـتـمـ حـسـابـ الـاـحـدـاثـيـاتـ الـقـطـبـيـةـ وـالـمـنـمـثـةـ بـالـبـعـدـ بـيـنـ مـصـدـرـ التـقطـيفـ وـجـبـهـةـ الـاـبـتـالـلـ عـنـ زـاوـيـةـ مـحـدـدـةـ فـيـ طـورـ التـرـطـيبـ مـنـ الـمـعـادـلـةـ 1ـ وـطـورـ اـعـادـةـ تـوزـيعـ الـرـطـوبـيـةـ مـنـ الـمـعـادـلـةـ 2ـ وـالـجـوـدـلـ(2)ـ يـعـرـضـ الـاـحـدـاثـيـاتـ الـقـطـبـيـةـ لـطـورـيـ التـرـطـيبـ وـاعـادـةـ تـوزـيعـ الـرـطـوبـيـةـ لـمـصـدـرـ تـقطـيفـ خـطـيـ مـفـردـ. وـيـوـضـعـ الشـكـلـ(12)ـ نـمـطـ الـاـبـتـالـلـ النـاتـجـ مـنـ مـصـدـرـ تـقطـيفـ خـطـيـ مـفـردـ وـالـعـرـفـةـ اـحـدـاثـيـاتـهـ فـيـ الـجـوـدـلـ(2).

تخمين نمط الابتلال الناتج من مصدرـي تقطـيفـ خـطـيـنـ: في ترسمـ جـمـعـ الـاـحـدـاثـيـاتـ الـقـطـبـيـةـ  $\frac{\pi}{2} < \theta < 0$  حالـةـ - تـرـسـمـ فـقـطـ الـبـيـانـاتـ الـتـيـ تـكـوـنـ  $\theta < \frac{\pi}{2}$  حالـةـ  $\pi/2 \leq s \leq 2\pi$ .



الشكل(11): نـمـطـ الـاـبـتـالـلـ النـاتـجـ مـنـ مـصـدـرـيـ تـقطـيفـ خـطـيـنـ بـيـنـ مـعـدـلـ اـضـافـةـ المـاءـ 1.2ـ سـمـ<sup>3</sup>ـ دـقـيقـةـ اـسـمـ وـحـجمـ ثـابـتـ للـمـاءـ الـمـضـافـ وـبـعـدـ فـوـاصـلـ خـلـالـ طـورـ اـعـادـةـ تـوزـيعـ الـرـطـوبـيـةـ بـعـدـ 72ـ ساعـةـ مـنـ بدـءـ اـضـافـةـ المـاءـ وـذـلـكـ لـتـرـبـةـ مـزـيجـيـةـ رـمـلـيـةـ وـتـرـبـةـ طـبـيـةـ غـرـبـيـةـ

## 5. الاستنتاجات:

(1) تم استنباط عـلـاقـةـ تـجـريـبيـةـ لـتـخـمـينـ نـمـطـ الـاـبـتـالـلـ النـاتـجـ مـنـ مـصـدـرـ تـقطـيفـ خـطـيـ مـفـردـ خـلـالـ طـورـ التـرـطـيبـوـذـلـكـ بـايـجادـ الـبعـدـ بـيـنـ مـصـدـرـ التـقطـيفـ وـجـبـهـةـ الـاـبـتـالـلـ كـدـالـةـ لـكـلـ مـعـدـلـ اـضـافـةـ المـاءـ وـزـمـنـ اـضـافـةـ المـاءـ وـمـعـدـلـ الـاـرـشـاحـ الاسـاسـ للـتـرـبـةـ.

(2) تم استنباط عـلـاقـةـ تـجـريـبيـةـ لـتـخـمـينـ نـمـطـ الـاـبـتـالـلـ النـاتـجـ مـنـ مـصـدـرـ تـقطـيفـ خـطـيـ مـفـردـ خـلـالـ طـورـ اـعـادـةـ تـوزـيعـ الـرـطـوبـيـةـ وـذـلـكـ بـايـجادـ الـبعـدـ بـيـنـ مـصـدـرـ التـقطـيفـ وـجـبـهـةـ الـاـبـتـالـلـ كـدـالـةـ لـكـلـ مـعـدـلـ اـضـافـةـ المـاءـ لـمـصـدـرـ التـقطـيفـ وـزـمـنـ اـضـافـةـ المـاءـ وـالـزـمـنـ الـكـلـيـ مـنـ بدـأـةـ اـضـافـةـ المـاءـ وـمـعـدـلـ الـاـرـشـاحـ الاسـاسـ للـتـرـبـةـ.

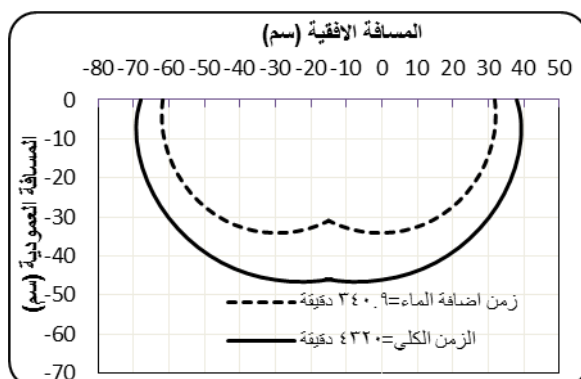
(3) تم استنباط عـلـاقـةـ تـجـريـبيـةـ لـتـخـمـينـ نـمـطـ الـاـبـتـالـلـ النـاتـجـ مـنـ مـصـدـرـيـ تـقطـيفـ خـطـيـنـ خـلـالـ طـورـ التـرـطـيبـ كـدـالـةـ لـكـلـ مـعـدـلـ اـضـافـةـ المـاءـ لـمـصـدـرـ التـقطـيفـ وـزـمـنـ اـضـافـةـ المـاءـ وـالـبـعـدـ بـيـنـ مـصـدـرـ التـقطـيفـ وـجـبـهـةـ الـاـبـتـالـلـ مـنـ مـصـدـرـ تـقطـيفـ خـطـيـ مـفـردـ وـمـعـدـلـ الـاـرـشـاحـ الاسـاسـ للـتـرـبـةـ.

(4) تم استنباط عـلـاقـةـ تـجـريـبيـةـ لـتـخـمـينـ نـمـطـ الـاـبـتـالـلـ النـاتـجـ مـنـ مـصـدـرـيـ تـقطـيفـ خـطـيـنـ خـلـالـ طـورـ اـعـادـةـ تـوزـيعـ الـرـطـوبـيـةـ كـدـالـةـ لـكـلـ مـعـدـلـ اـضـافـةـ المـاءـ بـيـنـ مـصـدـرـيـ التـقطـيفـ وـمـعـدـلـ اـضـافـةـ المـاءـ لـمـصـدـرـ التـقطـيفـ وـزـمـنـ اـضـافـةـ المـاءـ وـالـبـعـدـ بـيـنـ مـصـدـرـ التـقطـيفـ وـجـبـهـةـ الـاـبـتـالـلـ مـنـ مـصـدـرـ تـقطـيفـ خـطـيـ مـفـردـ وـمـعـدـلـ الـاـرـشـاحـ الاسـاسـ للـتـرـبـةـ.

ويوضح الشكل (13) نمط الابتلال لمصدري تنقيط خطيين بفاصله 30 سم والمعرفة احداثياته في الجدول(3).

الجدول (3): الاحداثيات القطبية لطوري الترطيب واعادة توزيع الرطوبة لمصدري تنقيط خطيين.

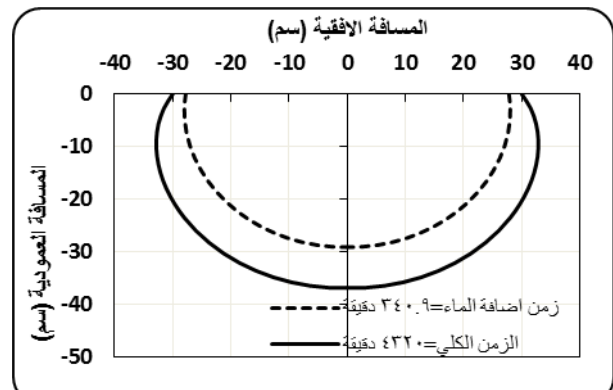
اعادة توزيع الرطوبة			الترطيب		
الاحداثيات القطبية			الاحداثيات القطبية		
البعد من المقط	البعد من المقط	الزاوية	البعد من المقط	البعد من المقط	الزاوية
الى جهة الابتلال	الى جهة الابتلال	بالقياس الدائري $\Theta$	الى جهة الابتلال	الى جهة الابتلال	بالقياس الدائري $\Theta$
للنط	للنط		للنط	للنط	
المتداخل	المتداخل		المغفرد	المغفرد	
sdr	ssr*		sdw	ssw*	
38.0	30.0	0.0	31.8	27.8	0.0
39.1	31.7	0.1	32.2	28.1	0.1
39.9	33.0	0.2	32.5	28.4	0.2
40.5	34.0	0.3	32.8	28.6	0.3
41.0	34.8	0.3	33.1	28.8	0.3
41.4	35.4	0.4	33.2	28.9	0.4
41.7	35.9	0.5	33.4	29.1	0.5
42.0	36.3	0.6	33.6	29.1	0.6
42.4	36.6	0.7	33.7	29.2	0.7
42.7	36.8	0.8	33.8	29.2	0.8
43.0	37.0	0.9	33.8	29.3	0.9
43.3	37.0	1.0	33.9	29.3	1.0
43.6	37.1	1.0	34.0	29.3	1.0
44.0	37.1	1.1	34.0	29.3	1.1
44.4	37.1	1.2	34.0	29.3	1.2
44.8	37.1	1.3	34.1	29.3	1.3
45.2	37.1	1.4	34.1	29.2	1.4
45.6	37.0	1.5	34.1	29.2	1.5
46.1	36.9	1.6	34.1	29.1	1.6
46.7	37.0	1.7	34.2	29.2	1.7
47.3	37.1	1.7	34.2	29.2	1.7
48.0	37.1	1.8	34.3	29.3	1.8
48.4	37.1	1.9	34.3	29.3	1.9
			34.4	29.3	2.0



الشكل (13): نمط الابتلال لمصدري تنقيط خطيين بفاصلاه 30 سم وتصريف 1.6 سم<sup>3</sup>/دقيقة/سم.

الجدول (2): الاحداثيات القطبية لطوري الترطيب واعادة توزيع الرطوبة لمصدر تنقيط خطي مفرد.

اعادة توزيع الرطوبة		الترطيب	
الاحداثيات القطبية		الاحداثيات القطبية	
البعد من المقط	الزاوية	البعد من المقط	الزاوية
جهة الابتلال	جهة الابتلال	جهة الابتلال	جهة الابتلال
الى جبهة الابتلال	الى جبهة الابتلال	الى جبهة الابتلال	الى جبهة الابتلال
للنط	للنط	للنط	للنط
المغفرد	المغفرد	المغفرد	المغفرد
ssr*		ssw*	
30.0	0.0	27.8	0.0
31.7	0.1	28.1	0.1
33.0	0.2	28.4	0.2
34.0	0.3	28.6	0.3
34.8	0.3	28.8	0.3
35.4	0.4	28.9	0.4
35.9	0.5	29.1	0.5
36.3	0.6	29.1	0.6
36.6	0.7	29.2	0.7
36.8	0.8	29.2	0.8
37.0	0.9	29.3	0.9
37.0	1.0	29.3	1.0
37.1	1.0	29.3	1.0
37.1	1.1	29.3	1.1
37.1	1.2	29.3	1.2
37.1	1.3	29.3	1.3
37.1	1.4	29.2	1.4
37.0	1.5	29.2	1.5
36.9	1.6	29.1	1.6



الشكل (12): نمط الابتلال لمصدر تنقيط خطي مفرد بتصريف 1.6 سم<sup>3</sup>/دقيقة/سم.

وتم حساب الاحداثيات القطبية والمنتصلة بالبعد بين مصدر التنقيط وجبهة الابتلال عند زاوية محددة في طور الترطيب من المعادلة 3 وطور اعادة توزيع الرطوبة من المعادلة 4 والجدول (3) يعرض الاحداثيات القطبية لطوري الترطيب واعادة توزيع الرطوبة لمصدري تنقيط خطيين.

- المصادر
10. Lazarovitch, N., A.W.Warrick, A.Furman, and J.Simunek (2007) "Subsurface water distribution from drip irrigation described by moment analyses". Journal of Soil Science Society of America (6):116-123.
  11. Zur, B. (1996) "Wetted soil volume as a design objective in trickle irrigation". Irrigation Science, 16(3), 101-105.
  12. Zhang, R., Cheng, Z., Zhang, J., & Ji, X. (2012) "Sandy loam soil wetting patterns of drip irrigation: a comparison of point and line sources". Procedia Engineering, 28, 506-511.
  1. Hammami,M.,H.Daghari, J. Balti, and M.Maalej (2002) "Approach for predicting the wetting front depth beneath a surface point source: Theory and numerical aspect" .Irrigation and Drainage (51) : 347-360. (www.interscience.wiley.com).
  2. Hachum, A.Y. (1973) "Water movement in soil from trickle source" M.Sc. Thesis, Utah State University, Logan, Utah, USA.
  3. Amen, W.R. (1981) "Water movement and distribution in soil of northern Iraq under trickle source" .M.Sc.Thesis, University of Mosul, Iraq, 84 p.
  4. ياسين, حقي إسماعيل (2006) "تأثير الإضافة المقطعة للماء من مصدر تقطيع على حركة الماء وتوزيع الرطوبة في تربة طباقية". أطروحة دكتوراه , جامعة الموصل، العراق.
  5. محمود، محمد طارق وحقي إسماعيل ياسين (2011) "تقدم جبهة الابتلال وتوزيع الرطوبة في تربة مزيجية غرينية تحت مصدر تقطيع خطي". مجلة تكريت للعلوم الهندسية ،المجلد(18)،العدد(2).
  6. حاجم ، أحمد يوسف وباسين، حقي إسماعيل (1992) " هندسة نظم الري الحقلي " دار الكتب للطباعة والنشر، جامعة الموصل.
  7. Haman, D. Z., and F. T. Izuno (2003) "Principles of micro irrigation". IFAS Extension University of Florida.
  8. Bhatnagar, P.R., H.S.Chauhan and V.K.Srivastava (1997) "Unsteady unsaturated flow from a surface disc source". Journal of Hydrology (203) : 154-161.
  9. LI Jiu-sheng, JI Hong-yan, LI Bei and LIU Yu-chun (2007) "Wetting patterns and nitrate distributions in layered-textural soils under drip irrigation". Department of Irrigation and Drainage, China Institute of Water Resources and Hydropower Research, Beijing 100044, P.R. China.

## Wetting Pattern for A Two-Line Trickle Source

**Qamar Moayad Bakir\***    **Dr.Haqqi Ismail Yasin\*\***  
[tharmoayad@gmail.com](mailto:tharmoayad@gmail.com)    [haqqiismail@yahoo.com](mailto:haqqiismail@yahoo.com)

**\*,\*\* Department of Dams and Water resources Engineering, University of Mosul**

### **Abstract**

*The laboratory tests carried out 12 tests to follow the advance of wetting front at appropriate times during the wetting and redistribution phases as a resulting of water application from a single linear trickle source or two linear trickle sources with a certain spacing to soil profile. These data are used to express with an estimating relationships for the wetting pattern produced by single linear trickle source and two linear trickle sources during wetting and redistribution phases. The study showed that there is a significant correspond between the wetting pattern of the measured and the estimated by the experimental equations. The wetting pattern increases with the decreasing of spacing between the two linear trickle sources, and this increase is regular along the wetting front or the surrounding of the wetting pattern, and this increase in the vertical direction of the wetting pattern is more in sandy loam soil than in silty clay soil and vice versa in the horizontal direction, when compare among the wetting patterns at the end of the wetting phase and the redistribution phase at a total time of 72 hours.*

### **Keywords:**

*trickle irrigation, wetting pattern, trickle lines spacing.*